



NATA LIGHTING CO.,LTD.
www.nata.cn
Email:info@nata.com
Tel:+86-750-3770000 Fax:+86 750 3771111
Address:380JinOu Road,GaoXin Zone,Jiang Men City,Guangdong,China

Nata

Client: NT

LumCAT: 2-2884-L & 92.70.400.00

Luminaire: 92.70.411.00

Report No: 20250110-B011

Ballast type: AC

Test No: 20250110-C011

Voltage(V): 36.460

LampCAT: LUMILEDS 1205 LES13

Current(A): 0.598

Lamp flux(lm): 2555.0

Power (W): 21.800

Number of Lamps: 1

PF: 0.000

Length(mm): 63

Width(mm): 63

Phm Type: C

Height(mm): 40

Photometric Results

Lumens(lm): 2315.40, Efficiency(%): 90.62% , Luminous Efficacy(lm/W): 106.21

Central intensity(cd): 7610.026, Maximum intensity(cd): 7610.026

Angle of maximum intensity: C=0.0 γ =0.0

Beam Angle(50%Imax): [C0/180]Total=24.6

[C90/270]Total=24.6

Field angle(10%Imax): [C0/180]Total=61.2

[C90/270]Total=61.2

Maximum s/h(1/2): C0_180=0.41 C90_270=0.41

Maximum s/h(1/4): C0_180=0.47 C90_270=0.47

Up flux rate of lamp(%): 0.00%

Down flux rate of lamp(%): 90.62%

Up flux rate of LUM(%): - -

Down flux rate of LUM(%): 100.00%

CIE Type : Direct lighting

Output flux ratio in π solid angle : 99.185%

$\gamma(^{\circ})$	Average I(cd)	Zonal F(lm)	Sum F(lm)	Eff Flux(%)	Eff Sum(%)
0.0	7610.025	0.000	0	0.00%	0.00%
1.0	7548.185	7.253	7.253	0.28%	0.31%
2.0	7402.751	21.459	28.712	0.84%	1.24%
3.0	7189.775	34.901	63.612	1.37%	2.75%
4.0	6927.140	47.254	110.866	1.85%	4.79%
5.0	6596.686	58.179	169.045	2.28%	7.30%
6.0	6207.079	67.287	236.332	2.63%	10.21%
7.0	5858.097	74.888	311.221	2.93%	13.44%
8.0	5412.715	80.663	391.884	3.16%	16.93%
9.0	5010.087	84.471	476.355	3.31%	20.57%
10.0	4622.583	87.172	563.527	3.41%	24.34%
11.0	4247.477	88.630	652.157	3.47%	28.17%
12.0	3904.467	89.112	741.269	3.49%	32.01%
13.0	3591.983	88.964	830.233	3.48%	35.86%
14.0	3271.602	87.853	918.087	3.44%	39.65%
15.0	3021.233	86.391	1004.478	3.38%	43.38%
16.0	2747.113	84.522	1089	3.31%	47.03%
17.0	2506.548	81.814	1170.814	3.20%	50.57%
18.0	2304.938	79.331	1250.145	3.10%	53.99%
19.0	2123.223	77.041	1327.186	3.02%	57.32%
20.0	1948.131	74.517	1401.703	2.92%	60.54%
21.0	1787.736	71.736	1473.439	2.81%	63.64%
22.0	1653.327	69.150	1542.588	2.71%	66.62%
23.0	1522.532	66.638	1609.227	2.61%	69.50%
24.0	1406.513	64.039	1673.266	2.51%	72.27%
25.0	1259.963	60.630	1733.896	2.37%	74.89%
26.0	1181.743	57.637	1791.533	2.26%	77.37%
27.0	1111.684	56.109	1847.642	2.20%	79.80%
28.0	1016.486	53.881	1901.522	2.11%	82.13%
29.0	918.996	50.638	1952.16	1.98%	84.31%
30.0	818.648	46.916	1999.076	1.84%	86.34%
31.0	717.288	42.743	2041.819	1.67%	88.18%
32.0	618.608	38.272	2080.091	1.50%	89.84%
33.0	524.002	33.662	2113.753	1.32%	91.29%
34.0	441.164	29.209	2142.961	1.14%	92.55%
35.0	358.338	24.830	2167.791	0.97%	93.62%
36.0	297.937	20.896	2188.687	0.82%	94.53%
37.0	246.814	17.767	2206.454	0.70%	95.29%

$\gamma(^{\circ})$	Average I(cd)	Zonal F(lm)	Sum F(lm)	Eff Flux(%)	Eff Sum(%)
38.0	210.105	15.251	2221.705	0.60%	95.95%
39.0	153.831	12.422	2234.127	0.49%	96.49%
40.0	109.251	9.175	2243.302	0.36%	96.89%
41.0	85.973	6.952	2250.254	0.27%	97.19%
42.0	68.285	5.604	2255.859	0.22%	97.43%
43.0	56.176	4.610	2260.469	0.18%	97.63%
44.0	46.879	3.890	2264.359	0.15%	97.80%
45.0	40.085	3.342	2267.701	0.13%	97.94%
46.0	35.033	2.938	2270.639	0.11%	98.07%
47.0	30.756	2.617	2273.255	0.10%	98.18%
48.0	27.622	2.360	2275.615	0.09%	98.28%
49.0	24.993	2.161	2277.776	0.08%	98.38%
50.0	22.944	1.999	2279.774	0.08%	98.46%
51.0	21.472	1.879	2281.654	0.07%	98.54%
52.0	20.243	1.790	2283.444	0.07%	98.62%
53.0	19.304	1.720	2285.164	0.07%	98.69%
54.0	18.739	1.677	2286.841	0.07%	98.77%
55.0	18.239	1.651	2288.491	0.06%	98.84%
56.0	17.858	1.631	2290.122	0.06%	98.91%
57.0	17.556	1.619	2291.742	0.06%	98.98%
58.0	17.286	1.611	2293.353	0.06%	99.05%
59.0	16.905	1.598	2294.951	0.06%	99.12%
60.0	16.426	1.575	2296.526	0.06%	99.18%
61.0	15.696	1.533	2298.059	0.06%	99.25%
62.0	14.829	1.471	2299.53	0.06%	99.31%
63.0	13.837	1.394	2300.924	0.05%	99.37%
64.0	12.838	1.309	2302.233	0.05%	99.43%
65.0	11.629	1.211	2303.444	0.05%	99.48%
66.0	10.532	1.106	2304.55	0.04%	99.53%
67.0	9.586	1.012	2305.561	0.04%	99.58%
68.0	8.647	0.924	2306.485	0.04%	99.61%
69.0	7.786	0.838	2307.323	0.03%	99.65%
70.0	7.103	0.765	2308.088	0.03%	99.68%
71.0	6.544	0.705	2308.793	0.03%	99.71%
72.0	6.104	0.658	2309.451	0.03%	99.74%
73.0	5.677	0.616	2310.067	0.02%	99.77%
74.0	5.256	0.575	2310.642	0.02%	99.79%
75.0	4.915	0.537	2311.179	0.02%	99.82%

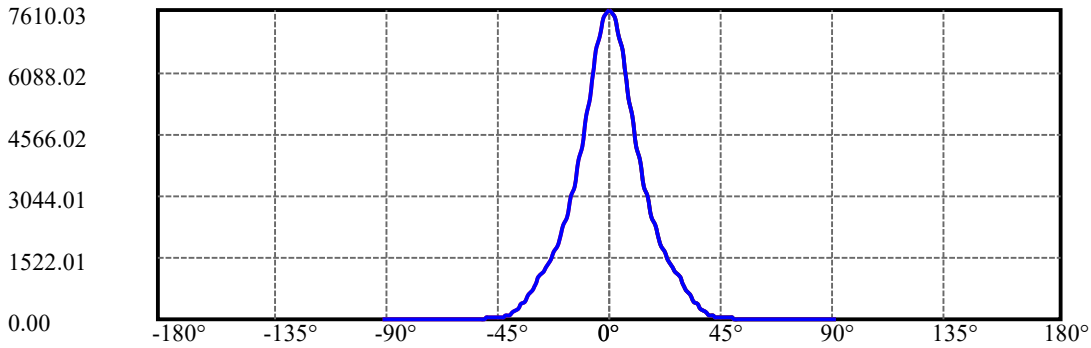
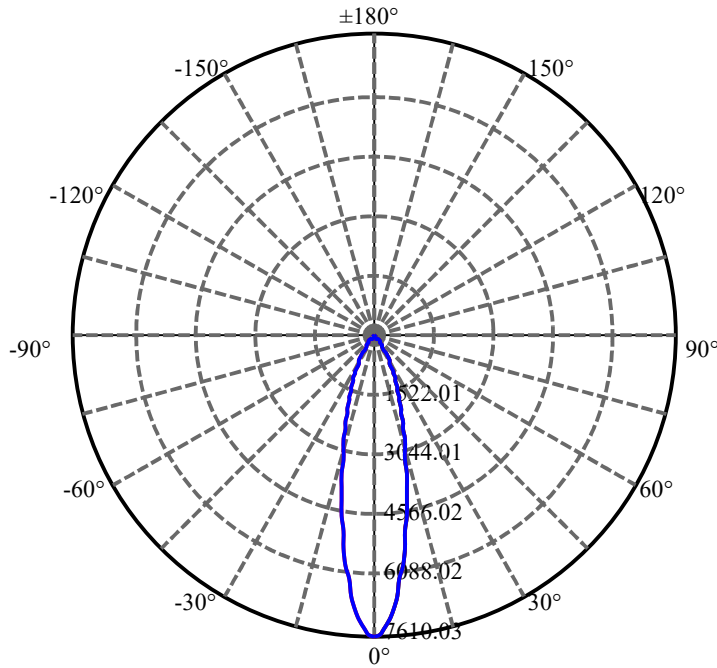
$\gamma(^{\circ})$	Average I(cd)	Zonal F(lm)	Sum F(lm)	Eff Flux(%)	Eff Sum(%)
76.0	4.553	0.503	2311.682	0.02%	99.84%
77.0	4.244	0.469	2312.151	0.02%	99.86%
78.0	3.890	0.435	2312.586	0.02%	99.88%
79.0	3.541	0.399	2312.985	0.02%	99.90%
80.0	3.233	0.365	2313.35	0.01%	99.91%
81.0	2.937	0.334	2313.684	0.01%	99.93%
82.0	2.641	0.302	2313.987	0.01%	99.94%
83.0	2.365	0.272	2314.259	0.01%	99.95%
84.0	2.076	0.242	2314.501	0.01%	99.96%
85.0	1.820	0.213	2314.713	0.01%	99.97%
86.0	1.583	0.186	2314.899	0.01%	99.98%
87.0	1.347	0.160	2315.06	0.01%	99.99%
88.0	1.150	0.137	2315.197	0.01%	99.99%
89.0	0.907	0.113	2315.309	0.00%	100.00%
90.0	0.749	0.091	2315.4	0.00%	100.00%

ZONAL LUMEN SUMMARY

Zone	Lumens	%Lamp	%Fixt
0-30	1999.08	78.24%	86.34%
0-40	2243.30	87.80%	96.89%
0-60	2296.53	89.88%	99.18%
0-90	2315.31	90.62%	100.00%
0-120	2315.31	90.62%	100.00%
0-180	2315.40	90.62%	100.00%
60-90	18.78	0.74%	0.81%
90-120	0.00	0.00%	0.00%
90-130	0.00	0.00%	0.00%
90-150	0.00	0.00%	0.00%
90-180	0.00	0.00%	0.00%
0-27.09	1852.32	72.50%	80.00%

ZONAL LUMEN SUMMARY

0-10	563.53
10-20	838.18
20-30	597.37
30-40	244.23
40-50	36.47
50-60	16.75
60-70	11.56
70-80	5.26
80-90	1.96
90-100	0.00
100-110	0.00
110-120	0.00
120-130	0.00
130-140	0.00
140-150	0.00
150-160	0.00
160-170	0.00
170-180	0.00



C0(Max): —————

C0/C180: —————

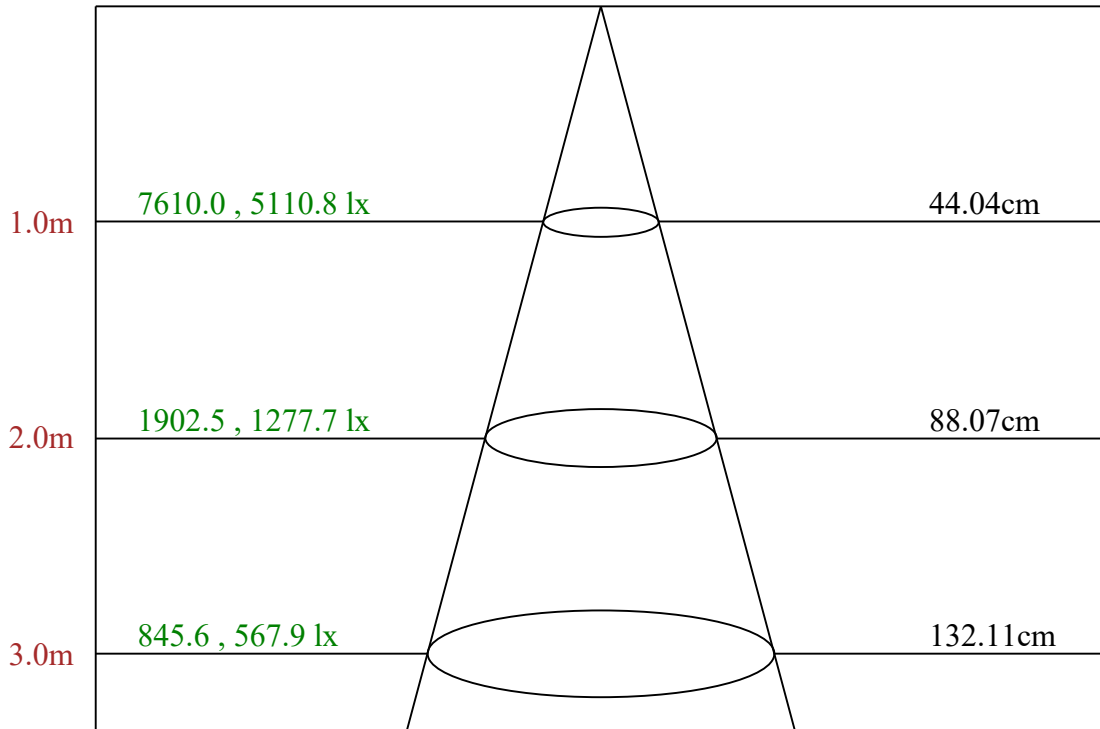
C90/C270: —————

Field angle(10%Imax):C0/180Left:30.6 Right:30.6

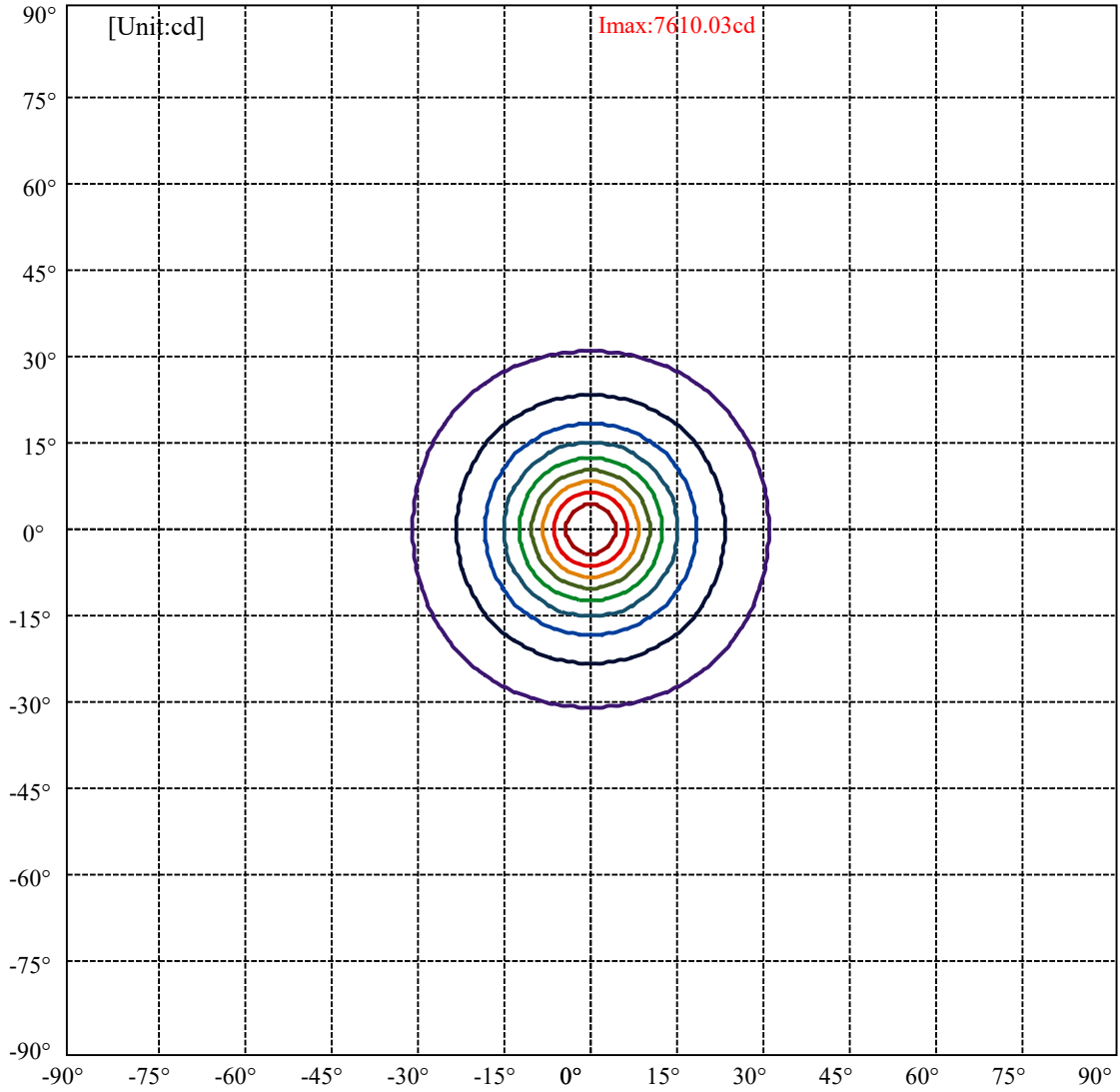
:C90/270Left:30.6 Right:30.6

Beam Angle(50%Imax):C0/180Left:12.3 Right:12.3

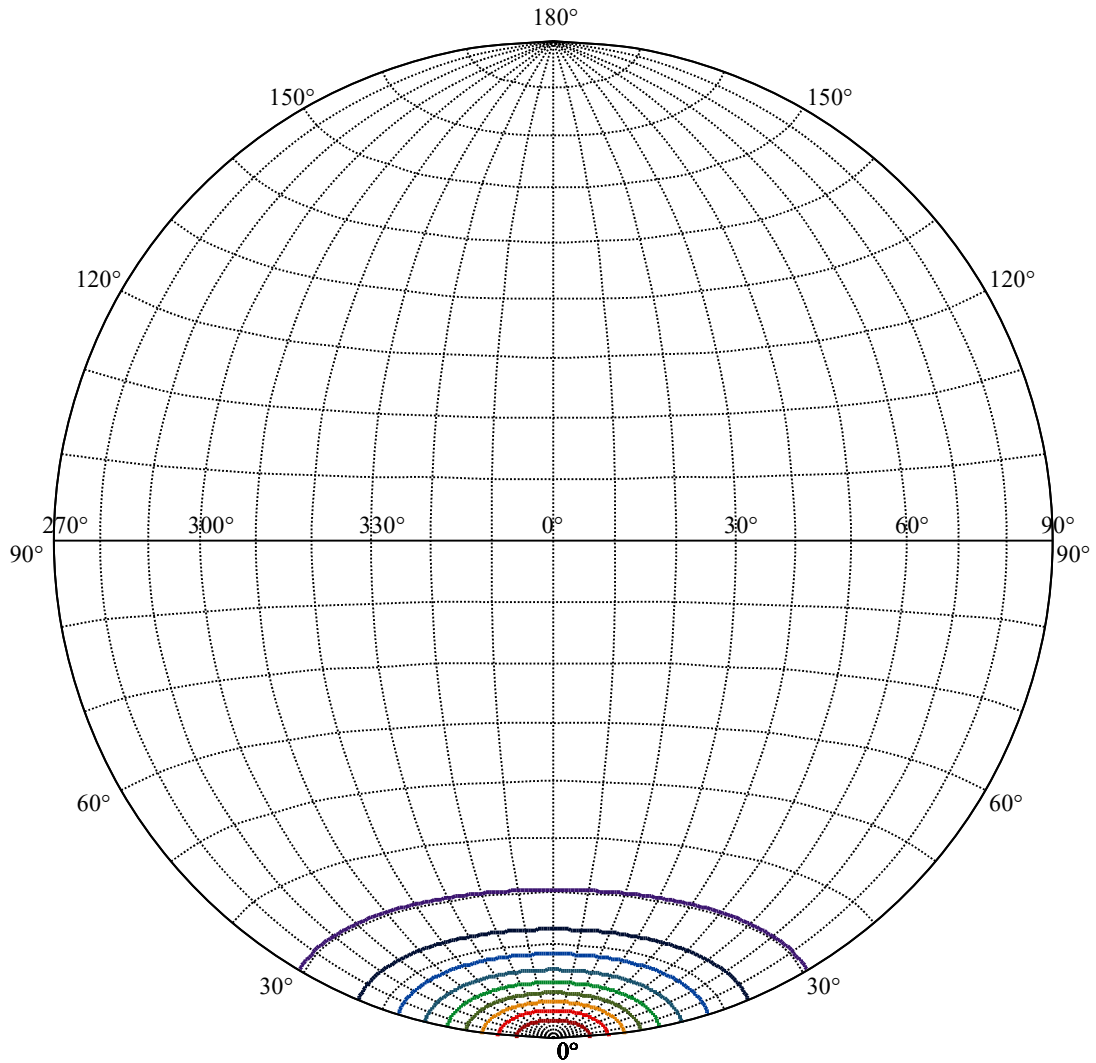
:C90/270Left:12.3 Right:12.3



Max , Ave Beam angle of C0 plane 24.83



(10%Imax) 761.003	—
(20%Imax) 1522.01	—
(30%Imax) 2283.01	—
(40%Imax) 3044.01	—
(50%Imax) 3805.01	—
(60%Imax) 4566.02	—
(70%Imax) 5327.02	—
(80%Imax) 6088.02	—
(90%Imax) 6849.02	—



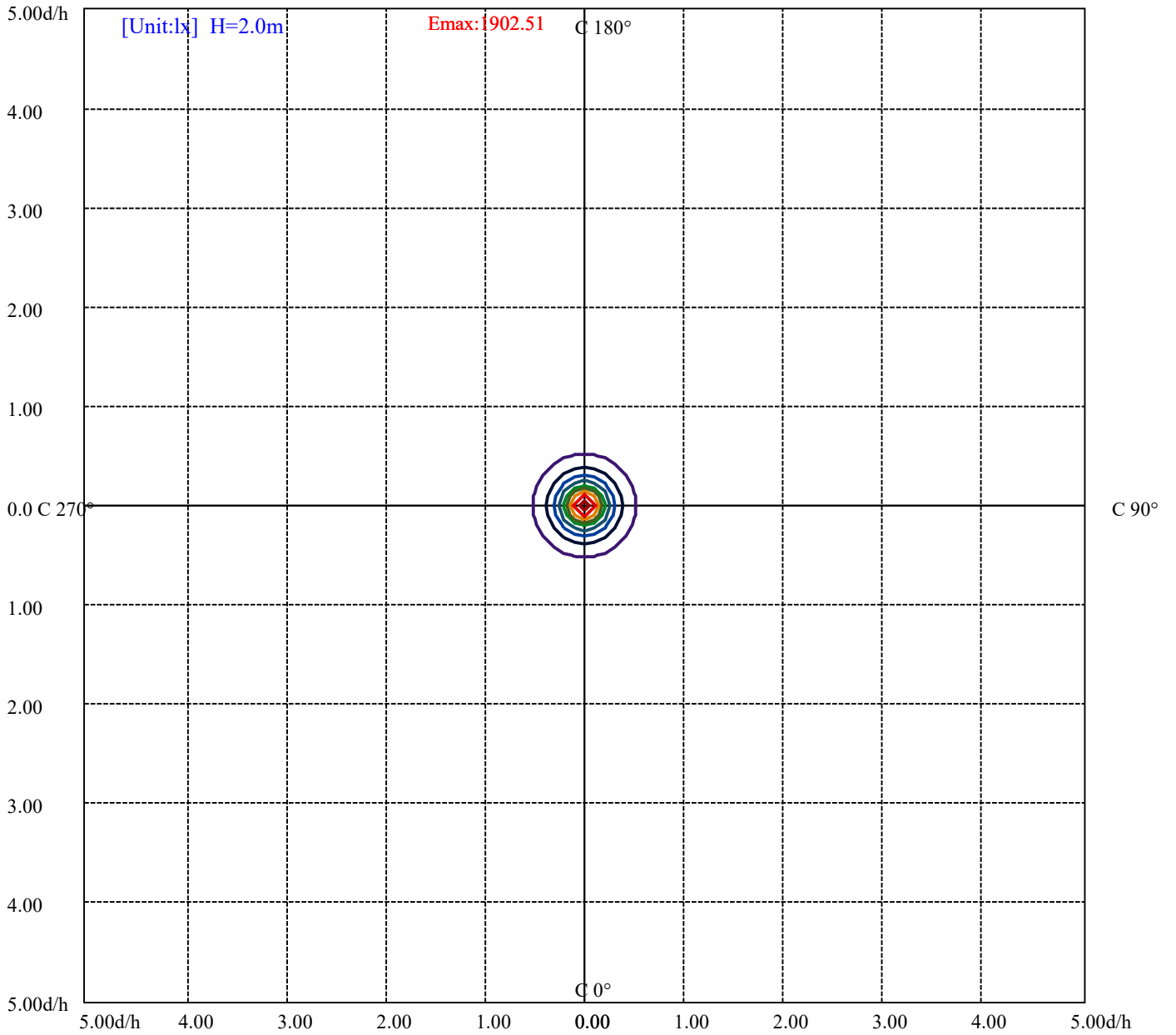
House

[Unit:cd]

Road

Imax:7610.03

(10%Imax) 761.003	—
(20%Imax) 1522.01	—
(30%Imax) 2283.01	—
(40%Imax) 3044.01	—
(50%Imax) 3805.01	—
(60%Imax) 4566.02	—
(70%Imax) 5327.02	—
(80%Imax) 6088.02	—
(90%Imax) 6849.02	—



- (10%Emax) 190.2505
- (20%Emax) 380.5
- (30%Emax) 570.75
- (40%Emax) 761.0025
- (50%Emax) 951.2525
- (60%Emax) 1141.502
- (70%Emax) 1331.752
- (80%Emax) 1522.002
- (90%Emax) 1712.255

Luminance Limiting Curve(no luminous side)

Luminance Table

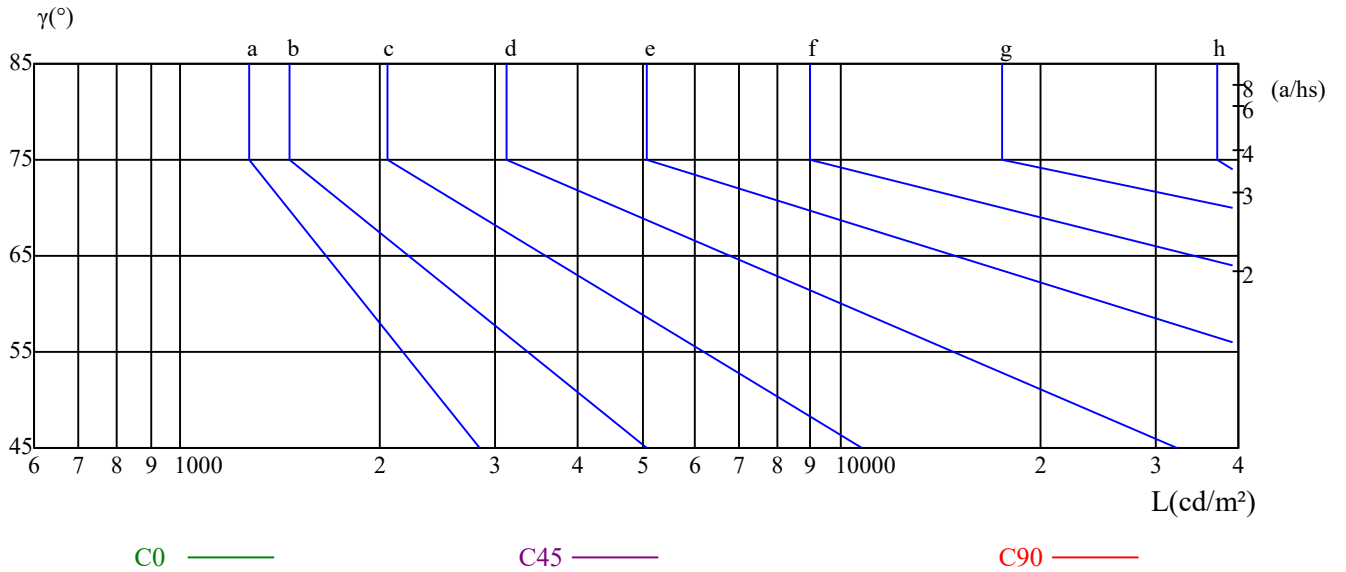
γ	45	50	55	60	65	70	75	80	85
C0	0	0	0	0	0	0	0	0	0
C45	0	0	0	0	0	0	0	0	0
C90	0	0	0	0	0	0	0	0	0

L(Hor)(65)	L(Ver)(65)	L45(65)	L(Hor)(75)	L(Ver)(75)	L45(75)	L(Hor)(85)	L(Ver)(85)	L45(85)
0	0	0	0	0	0	0	0	0

Glare Table

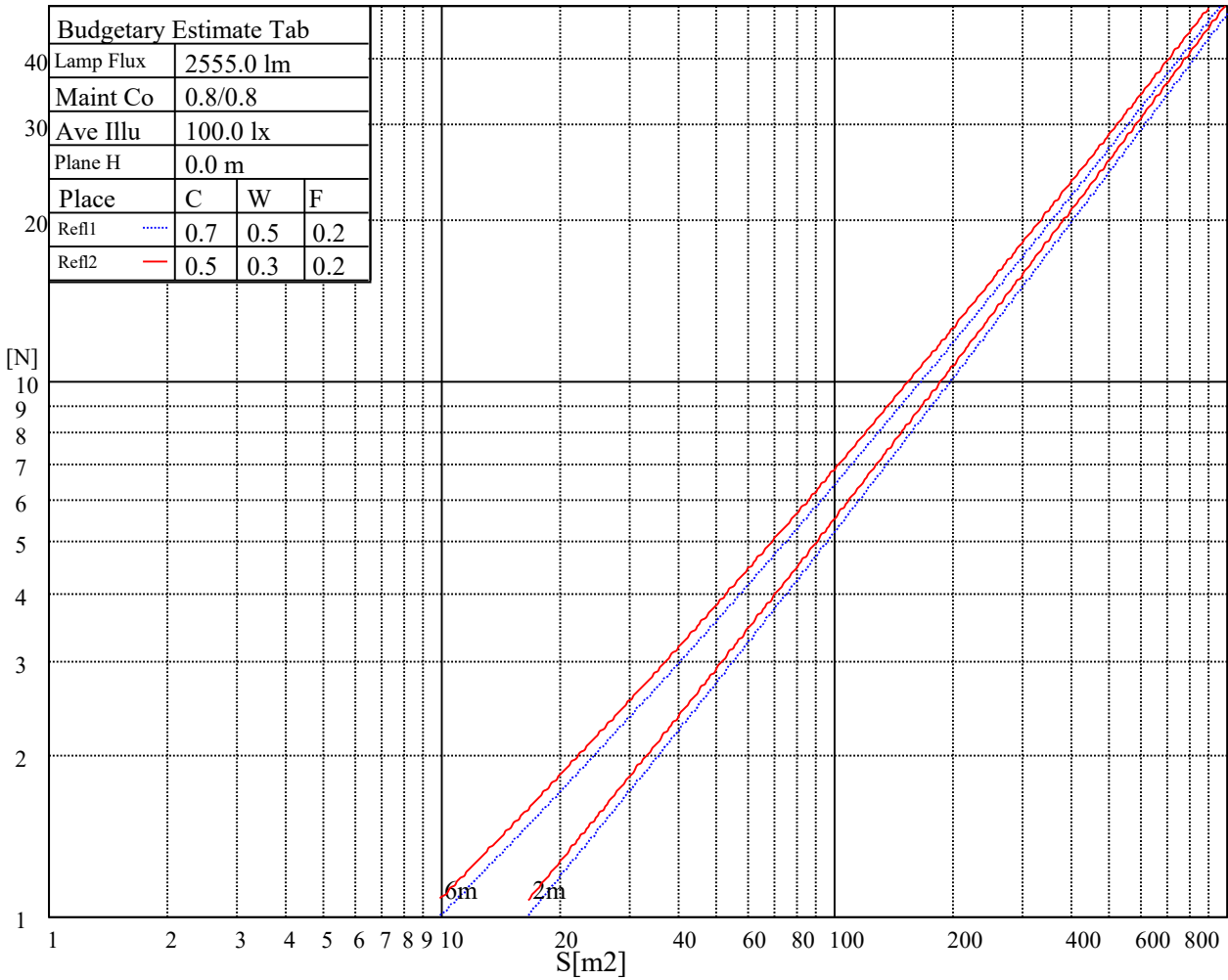
Glare	Quality	Service Values Illuminance(lx)							
1.15	A	2000	1000	500	<=300				
1.5	B		2000	1000	500	<=300			
1.85	C			2000	1000	500	<=300		
2.2	D				2000	1000	500	<=300	
2.55	E					2000	1000	500	<=300
		a	b	c	d	e	f	g	h

Luminance Limiting Curve



Illumination assessment according UGR											
Rf of Ceiling	70	70	50	50	30	70	70	50	50	30	
Rf of Wall	50	30	50	30	30	50	30	50	30	30	
Rf of Floor	20	20	20	20	20	20	20	20	20	20	
Room dimensions		Viewed crosswise					Viewed endwise				
X	Y										
2H	2H	非数字	非数字	非数字	非数字	非数字	非数字	非数字	非数字	非数字	
	3H	非数字	非数字	非数字	非数字	非数字	非数字	非数字	非数字	非数字	
	4H	非数字	非数字	非数字	非数字	非数字	非数字	非数字	非数字	非数字	
	6H	非数字	非数字	非数字	非数字	非数字	非数字	非数字	非数字	非数字	
	8H	非数字	非数字	非数字	非数字	非数字	非数字	非数字	非数字	非数字	
4H	12H	非数字	非数字	非数字	非数字	非数字	非数字	非数字	非数字	非数字	
	2H	非数字	非数字	非数字	非数字	非数字	非数字	非数字	非数字	非数字	
	3H	非数字	非数字	非数字	非数字	非数字	非数字	非数字	非数字	非数字	
	4H	非数字	非数字	非数字	非数字	非数字	非数字	非数字	非数字	非数字	
	6H	非数字	非数字	非数字	非数字	非数字	非数字	非数字	非数字	非数字	
8H	8H	非数字	非数字	非数字	非数字	非数字	非数字	非数字	非数字	非数字	
	12H	非数字	非数字	非数字	非数字	非数字	非数字	非数字	非数字	非数字	
	4H	非数字	非数字	非数字	非数字	非数字	非数字	非数字	非数字	非数字	
	6H	非数字	非数字	非数字	非数字	非数字	非数字	非数字	非数字	非数字	
	8H	非数字	非数字	非数字	非数字	非数字	非数字	非数字	非数字	非数字	
12H	12H	非数字	非数字	非数字	非数字	非数字	非数字	非数字	非数字	非数字	
	4H	非数字	非数字	非数字	非数字	非数字	非数字	非数字	非数字	非数字	
	6H	非数字	非数字	非数字	非数字	非数字	非数字	非数字	非数字	非数字	
	8H	非数字	非数字	非数字	非数字	非数字	非数字	非数字	非数字	非数字	
Variation with the observer position at spacings:											
S = 1.0H		非数字/非数字					非数字/非数字				
S = 1.5H		非数字/非数字					非数字/非数字				
S = 2.0H		非数字/非数字					非数字/非数字				
Standard tables:		BK0					BK0				
Uncorrected UGR		负无穷大					负无穷大				

UGR calculation is based on CIE Publ. 117 ,S/H = 0.25



RHOCC	80			70			50			30			10			0
RHOW	50	30	10	50	30	10	50	30	10	50	30	10	50	30	10	0
RCR	COEFFICIENTS OF UTILIZATION RHOFC=20 CU															
0	1.08	1.08	1.08	1.05	1.05	1.05	1.01	1.01	1.01	0.96	0.96	0.96	0.92	0.92	0.92	0.91
1	1.01	0.99	0.98	0.99	0.98	0.96	0.96	0.94	0.93	0.92	0.91	0.90	0.89	0.89	0.88	0.86
2	0.96	0.93	0.90	0.94	0.91	0.89	0.91	0.89	0.87	0.89	0.87	0.85	0.86	0.85	0.83	0.82
3	0.91	0.87	0.84	0.89	0.86	0.83	0.87	0.84	0.82	0.85	0.83	0.80	0.83	0.81	0.79	0.78
4	0.86	0.82	0.79	0.85	0.81	0.78	0.83	0.80	0.77	0.81	0.79	0.76	0.80	0.77	0.76	0.74
5	0.82	0.78	0.74	0.81	0.77	0.74	0.80	0.76	0.73	0.78	0.75	0.73	0.77	0.74	0.72	0.71
6	0.78	0.74	0.71	0.78	0.73	0.70	0.76	0.73	0.70	0.75	0.72	0.69	0.74	0.71	0.69	0.68
7	0.75	0.70	0.67	0.74	0.70	0.67	0.73	0.69	0.67	0.72	0.69	0.66	0.71	0.68	0.66	0.65
8	0.72	0.67	0.64	0.71	0.67	0.64	0.70	0.67	0.64	0.70	0.66	0.64	0.69	0.66	0.63	0.62
9	0.69	0.65	0.62	0.69	0.64	0.61	0.68	0.64	0.61	0.67	0.64	0.61	0.66	0.63	0.61	0.60
10	0.66	0.62	0.59	0.66	0.62	0.59	0.65	0.62	0.59	0.65	0.61	0.59	0.64	0.61	0.59	0.58

Intensity data(cd)

C/γ(°)	0.0	1.0	2.0	3.0	4.0	5.0	6.0	7.0	8.0
0.0	7553.76	7342.04	7081.27	6782.61	6569.79	6027.66	5609.79	5347.39	4746.76
45.0	7636.75	7626.19	7465.14	7230.02	6963.16	6653.36	6278.38	5879.48	5458.83
90.0	7627.29	7444.53	7220.04	6954.81	6612.68	6394.86	5856.62	5612.05	5184.71
135.0	7622.30	7658.51	7564.32	7361.54	7129.21	6839.49	6486.79	6104.56	5701.72
180.0	7553.76	7623.98	7640.64	7503.03	7288.53	7022.77	6714.12	6340.25	5952.44
225.0	7636.75	7567.69	7397.75	7152.02	6874.54	6527.47	6133.52	5808.73	5304.50
270.0	7627.29	7656.83	7585.50	7436.17	7177.09	6861.77	6534.68	6144.66	5735.20
315.0	7622.30	7465.71	7267.34	7097.99	6802.11	6446.11	6042.74	5627.66	5217.56
360.0	7553.76	7342.04	7081.27	6782.61	6569.79	6027.66	5609.79	5347.39	4746.76
C/γ(°)	9.0	10.0	11.0	12.0	13.0	14.0	15.0	16.0	17.0
0.0	4501.61	4151.18	3806.84	3478.64	3181.71	2893.09	2647.36	2420.61	2220.03
45.0	5028.13	4619.72	4265.92	3926.05	3734.41	3307.60	3126.00	2852.99	2606.68
90.0	4617.51	4410.26	4074.80	3741.66	3418.51	3132.09	2852.41	2611.15	2391.07
135.0	5287.21	4841.48	4469.86	4141.66	3802.37	3501.50	3202.32	2926.52	2681.37
180.0	5524.58	5087.73	4662.08	4321.64	3956.69	3628.55	3439.64	3138.24	2780.56
225.0	4971.83	4545.08	4164.53	3831.33	3503.19	3193.96	2899.77	2635.69	2400.53
270.0	5336.78	4946.76	4529.47	4119.95	3783.45	3460.82	3212.36	2861.34	2657.40
315.0	4813.04	4378.46	4006.31	3674.80	3355.54	3055.20	2790.02	2530.36	2314.75
360.0	4501.61	4151.18	3806.84	3478.64	3181.71	2893.09	2647.36	2420.61	2220.03
C/γ(°)	18.0	19.0	20.0	21.0	22.0	23.0	24.0	25.0	26.0
0.0	2037.85	1871.80	1718.01	1581.50	1462.87	1344.18	1210.46	1073.38	1073.38
45.0	2388.86	2183.24	2008.89	1842.26	1693.51	1562.00	1441.68	1330.25	1219.92
90.0	2189.96	2020.56	1853.98	1719.69	1584.29	1473.43	1366.47	1262.29	1073.75
135.0	2458.51	2338.14	2143.13	1911.38	1812.20	1674.59	1550.86	1438.32	1338.03
180.0	2632.91	2415.61	2219.45	2041.74	1882.37	1734.72	1606.05	1483.47	1373.14
225.0	2194.96	2009.41	1842.26	1693.51	1557.58	1434.43	1329.15	1091.78	1072.43
270.0	2416.14	2203.89	2019.45	1846.73	1701.29	1565.36	1446.15	1331.36	1234.43
315.0	2120.32	1943.13	1779.87	1665.07	1532.51	1391.54	1301.29	1068.86	1068.86
360.0	2037.85	1871.80	1718.01	1581.50	1462.87	1344.18	1210.46	1073.38	1073.38
C/γ(°)	27.0	28.0	29.0	30.0	31.0	32.0	33.0	34.0	35.0
0.0	975.67	879.58	779.40	677.58	579.61	489.88	405.73	329.25	260.34
45.0	1119.06	1017.66	923.52	822.13	717.37	619.87	525.15	471.12	362.47
90.0	1073.75	989.23	890.67	786.65	681.00	579.71	485.52	402.52	324.47
135.0	1238.85	1139.71	1041.63	941.34	836.58	733.51	630.43	528.46	439.90
180.0	1270.65	1177.03	1081.74	984.81	885.05	781.45	673.33	575.30	483.89
225.0	1072.43	977.08	882.42	788.12	691.67	593.01	501.50	417.40	341.24
270.0	1135.24	1041.63	943.02	840.47	740.19	639.37	542.97	453.25	372.46
315.0	1007.83	909.96	809.57	708.07	606.83	512.06	427.39	352.01	281.95
360.0	975.67	879.58	779.40	677.58	579.61	489.88	405.73	329.25	260.34
C/γ(°)	36.0	37.0	38.0	39.0	40.0	41.0	42.0	43.0	44.0
0.0	203.00	156.11	119.42	91.83	72.01	58.13	48.25	43.73	35.43
45.0	320.11	294.46	227.07	147.86	114.27	88.83	70.59	57.29	47.88
90.0	256.61	198.42	151.54	115.16	88.57	69.75	56.50	47.04	42.58
135.0	359.11	300.60	300.60	180.13	137.45	105.55	82.26	65.44	53.88
180.0	400.32	339.03	295.61	295.61	160.32	122.79	94.45	74.32	60.45
225.0	272.85	214.51	167.15	128.31	98.66	77.48	62.23	53.40	43.73
270.0	327.36	298.92	286.10	157.58	121.95	95.09	75.06	60.60	50.41
315.0	244.15	172.46	133.35	114.17	80.79	70.17	56.93	47.57	40.68
360.0	203.00	156.11	119.42	91.83	72.01	58.13	48.25	43.73	35.43

Intensity data(cd)

C/γ(°)	45.0	46.0	47.0	48.0	49.0	50.0	51.0	52.0	53.0
0.0	32.64	28.96	25.07	23.76	21.97	20.60	19.66	18.92	18.29
45.0	40.84	35.43	31.17	27.75	25.02	22.81	21.81	20.39	19.03
90.0	34.43	31.75	27.96	25.07	22.76	21.03	19.76	18.76	17.98
135.0	45.47	39.26	34.32	30.28	27.12	24.65	22.76	21.29	20.13
180.0	50.57	43.26	37.79	33.53	30.07	27.23	25.12	23.29	21.97
225.0	38.74	33.80	29.91	26.86	24.34	22.39	20.87	19.76	18.92
270.0	42.68	36.79	32.22	28.70	25.76	23.44	21.71	20.34	19.45
315.0	35.32	31.01	27.60	25.02	22.92	21.39	20.08	19.19	18.66
360.0	32.64	28.96	25.07	23.76	21.97	20.60	19.66	18.92	18.29
C/γ(°)	54.0	55.0	56.0	57.0	58.0	59.0	60.0	61.0	62.0
0.0	18.03	17.82	17.56	17.19	16.87	16.29	15.40	14.40	13.30
45.0	18.61	17.98	17.50	17.19	16.98	16.56	16.03	15.30	14.40
90.0	17.56	17.19	16.87	16.56	16.19	15.82	15.09	14.14	13.19
135.0	19.24	18.92	18.13	18.03	17.82	17.24	17.08	16.66	15.87
180.0	21.39	20.45	19.82	19.40	18.98	18.61	18.29	17.87	17.14
225.0	18.29	17.82	17.61	17.35	17.08	16.82	16.29	15.40	14.45
270.0	18.61	17.87	17.61	17.24	17.03	16.77	16.56	16.03	15.30
315.0	18.19	17.87	17.77	17.50	17.35	17.14	16.66	15.77	14.98
360.0	18.03	17.82	17.56	17.19	16.87	16.29	15.40	14.40	13.30
C/γ(°)	63.0	64.0	65.0	66.0	67.0	68.0	69.0	70.0	71.0
0.0	12.19	11.25	9.78	8.99	8.09	7.36	6.73	6.15	5.73
45.0	13.35	12.25	11.14	10.04	8.99	8.04	7.15	6.62	6.04
90.0	12.14	11.09	10.04	8.94	8.46	7.57	6.78	6.20	5.78
135.0	14.98	13.93	12.93	11.77	10.67	9.72	8.94	8.04	7.46
180.0	16.19	15.14	13.98	12.72	11.46	10.30	9.30	8.20	7.46
225.0	13.40	12.67	11.20	10.04	9.41	8.46	7.36	6.99	6.41
270.0	14.45	13.40	12.25	11.14	9.93	8.99	8.09	7.25	6.62
315.0	13.98	12.98	11.72	10.62	9.67	8.73	7.94	7.36	6.83
360.0	12.19	11.25	9.78	8.99	8.09	7.36	6.73	6.15	5.73
C/γ(°)	72.0	73.0	74.0	75.0	76.0	77.0	78.0	79.0	80.0
0.0	5.41	4.94	4.57	4.21	3.94	3.57	3.21	2.89	2.63
45.0	5.83	5.47	4.89	4.68	4.26	3.99	3.63	3.26	3.00
90.0	5.31	4.94	4.63	4.26	3.84	3.57	3.26	2.94	2.63
135.0	6.94	6.57	6.10	5.73	5.47	5.10	4.73	4.36	4.05
180.0	6.83	6.25	5.78	5.41	5.05	4.73	4.31	3.99	3.68
225.0	5.89	5.47	5.10	4.78	4.36	4.05	3.73	3.36	3.05
270.0	6.15	5.73	5.31	5.05	4.57	4.31	3.99	3.63	3.26
315.0	6.47	6.04	5.68	5.20	4.94	4.63	4.26	3.89	3.57
360.0	5.41	4.94	4.57	4.21	3.94	3.57	3.21	2.89	2.63
C/γ(°)	81.0	82.0	83.0	84.0	85.0	86.0	87.0	88.0	89.0
0.0	2.37	2.10	1.89	1.58	1.37	1.26	0.95	0.84	0.68
45.0	2.68	2.37	2.05	1.79	1.52	1.26	1.10	0.89	0.63
90.0	2.31	2.16	1.84	1.58	1.37	1.16	1.00	0.79	0.58
135.0	3.73	3.36	3.10	2.84	2.47	2.21	2.00	1.79	1.31
180.0	3.31	3.00	2.73	2.37	2.10	1.84	1.58	1.37	1.16
225.0	2.79	2.52	2.21	2.00	1.79	1.47	1.26	1.05	0.89
270.0	3.00	2.63	2.37	2.10	1.79	1.58	1.31	1.16	1.00
315.0	3.31	3.00	2.73	2.37	2.16	1.89	1.58	1.31	1.00
360.0	2.37	2.10	1.89	1.58	1.37	1.26	0.95	0.84	0.68

Intensity data(cd)

C/γ(°)	90.0
0.0	0.68
45.0	0.53
90.0	0.53
135.0	1.00
180.0	1.00
225.0	0.84
270.0	0.79
315.0	0.63
360.0	0.68